

Soutenance de stage

Réduction du modèle de Vlasov-Poisson guidée par les données

Guillaume Steimer

Dirigé par : Emmanuel Franck, Vincent Vigon, Laurent Navoret
& Nicolas Crouseilles

M2 CSMI
UFR de Mathématiques et d'Informatique
Université de Strasbourg

26 août 2021

Modéliser un
plasma

Le plasma

Équation de
Vlasov-Poisson et
discrétisation

Génération des
données par
algorithme PIC

Notions de mécanique
Hamiltonienne

Algorithme PIC

Réduction du
modèle

Limite des méthodes
classiques

Réduction par
apprentissage d'un
auto-encodeur

Modélisation de la
dynamique réduite

Résultats

Conclusion

Références

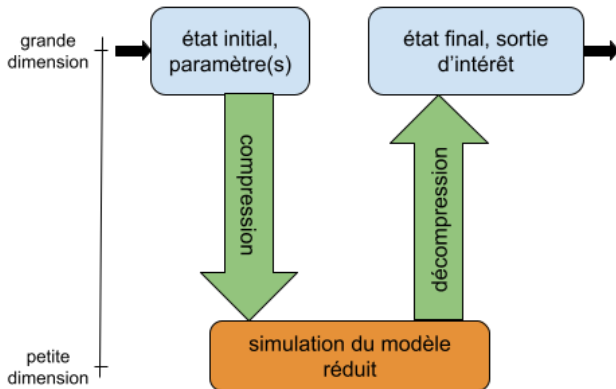


Figure – Schéma du processus

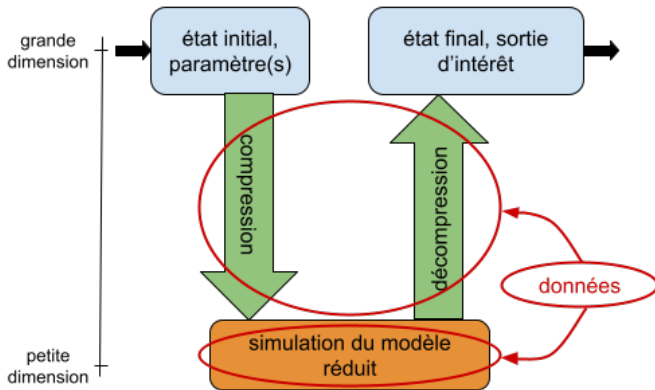


Figure – Schéma du processus, étapes par apprentissage machine en rouge

- ▶ plasma 1D sans collisions, non relativiste, limite électrique $|E + E_{ext}| \gg c|B|$,
- ▶ modèle cinétique : distribution statistique $f(x, v, t)$ de particules,
- ▶ équation de **Vlasov**-**Poisson** :

$$\partial_t f + v \nabla_x f + \frac{q}{m} (E(f) + E_{ext}) \nabla_v f = 0,$$
$$E = -\nabla \phi, \quad \Delta \phi = -\rho,$$

- ▶ $x(t), v(t)$ position et vitesse, t temps, q, m charge et masse,
- ▶ $\phi(x(t))$ potentiel électrique, $\rho(x(t)) = q \int f dv$ densité de charge,
- ▶ E, E_{ext} champs électriques auto-induit et externe (donné).
- ▶ \rightarrow équation de transport (fortement) non linéaire!

- ▶ distribution discrète f_N de N particules de positions et vitesses $(x_i(t), v_i(t))$:

$$f_N(x(t), v(t), t) = \sum_{i=1}^N w_i \delta(x - x_i(t)) \delta(v - v_i(t))$$

- ▶ conditions initiales (x^0, v^0) , on aboutit à une EDO en grande dimension $2N$:

$$\begin{cases} \dot{x}_i = v_i, \\ \dot{v}_i = \frac{q}{m}(E + E_{ext})(x_i), \\ x_i(0) = x_i^0, v_i(0) = v_i^0. \end{cases}$$

- ▶ E dépend de tous les x_i !
- ▶ point de départ de notre méthode.

- ▶ cas d'un système conservatif ou hamiltonien ; on note $x = (x_i), v = (v_i) \in \mathbb{R}^N$,
- ▶ $u = \begin{pmatrix} x \\ v \end{pmatrix} \in \mathbb{R}^{2N}$ suit une dynamique hamiltonienne associée à $\mathcal{H} : \mathbb{R}^{2N} \rightarrow \mathbb{R}$ si $\dot{u} = \mathbb{J}_{2N} \nabla_u \mathcal{H}(u)$,
- ▶ $\mathbb{J}_{2N} := \begin{pmatrix} 0 & \mathbb{I}_N \\ -\mathbb{I}_N & 0 \end{pmatrix}$
- ▶ formulation symplectique : $\forall t > 0, \mathcal{H}(u(t)) = \mathcal{H}(u(0))$,
- ▶ \mathcal{H} : hamiltonien associé, en physique : énergie du système,
- ▶ nécessité de schémas numériques symplectiques \rightarrow stabilité numérique.

- ▶ ici :

$$\mathcal{H}(u(t)) = \sum_{i=1}^N \left[\frac{1}{2} v_i^2(t) + \frac{q}{m} \phi(x_i(t)) \right]$$

- ▶ hamiltonien séparé $\mathcal{H}(u) = \mathcal{H}^1(x) + \mathcal{H}^2(v)$,

- ▶ 2 : calcul de $\Delta\phi_M^n = -\rho_M^n$ par différences finies,
- ▶ 3 : calcul de $E_M^n = -\nabla\phi_M^n$ par différences finies centrées,
- ▶ 4 : interpolation de E_M^n en $x^n \rightarrow E^n(x^n)$.

Field solver

- ▶ illustration du field solver avec conditions aux bords de Neumann, $N = 3, M = 6, q/m = +1$,
- ▶ calcul de la densité et du potentiel :

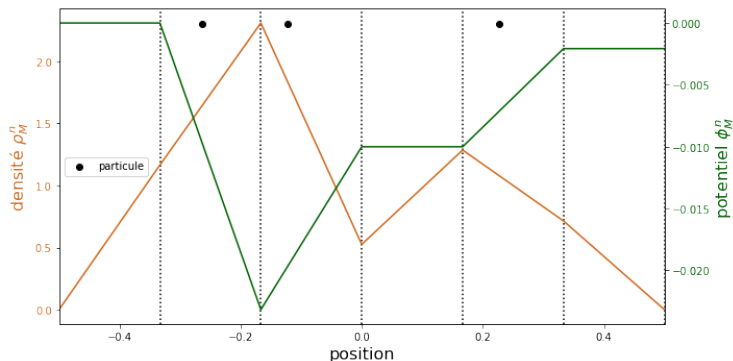


Figure – densité ρ_M^n et potentiel ϕ_M^n sur grille

Réduction du modèle de Vlasov-Poisson guidée par les données

Guillaume Steimer

Modéliser un plasma

Le plasma

Équation de Vlasov-Poisson et discrétisation

Génération des données par algorithme PIC

Notions de mécanique Hamiltonienne

Algorithme PIC

Réduction du modèle

Limite des méthodes classiques

Réduction par apprentissage d'un auto-encodeur

Modélisation de la dynamique réduite

Résultats

Conclusion

Références

- ▶ EDO en dimension $2N$ très coûteuse,
- ▶ solution : trouver des vitesses-positions réduites

$$\bar{u} = \begin{pmatrix} \bar{x} \\ \bar{v} \end{pmatrix} \in \mathbb{R}^{2K}, K \ll N \text{ qui :}$$

- ▶ suivent une EDO réduite (symplectique) en dimension $2K$,
- ▶ fidèle à la solution $u \in \mathbb{R}^{2N}$ paramétrée (par t, u^0),
- ▶ MAIS pour un domaine (restreint) de paramètres,
- ▶ compression-décompression $u \leftrightarrow \bar{u}$ rapide,

Modéliser un
plasma

Le plasma

Équation de
Vlasov-Poisson et
discrétisation

Génération des
données par
algorithme PIC

Notions de mécanique
Hamiltonienne

Algorithme PIC

Réduction du
modèle

Limite des méthodes
classiques

Réduction par
apprentissage d'un
auto-encodeur

Modélisation de la
dynamique réduite

Résultats

Conclusion

Références

- ▶ PSD (Proper Symplectic Decomposition) [4] inspirée de la POD (Proper Orthogonal Decomposition),
- ▶ hypothèse : linéarité de u par rapport aux paramètres \rightarrow réduction linéaire $u = A\bar{u}$,
- ▶ fournit un modèle réduit symplectique,
- ▶ hypothèse suffisante avec une EDP linéaire ($E \equiv 0$),
- ▶ mais insuffisante dans le cas fortement non linéaire ($E \neq 0$).

- ▶ exemple dans le cas linéaire, $N = 1000$ particules, $K = 10$ et $E_{\text{ext}}(x) = 3 \cos(6\pi x)$, on fixe $q/m = -1$.

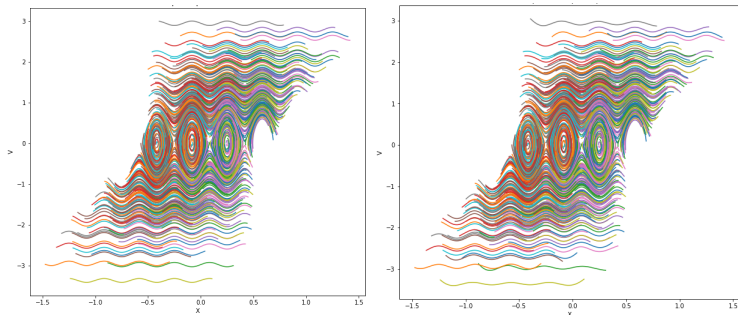


Figure – Trajectoires de référence par PIC (gauche) et obtenues par PSD (droite)

Limite des méthodes classiques

- ▶ exemple : cas non linéaire, $N = 1000$ particules confinées par E_{ext} : zone libre de taille $L_{libre} = 1.2$ et d'intensité I ,

$$E_{ext}(x) = \begin{cases} I \left(x + \frac{L_{libre}}{2}\right)^3 & \text{si } x < -\frac{L_{libre}}{2}, \\ 0 & \text{si } -\frac{L_{libre}}{2} < x < \frac{L_{libre}}{2}, \\ I \left(x - \frac{L_{libre}}{2}\right)^3 & \text{sinon} \end{cases}$$

- ▶ rappel : accélération : $-E_{ext}$

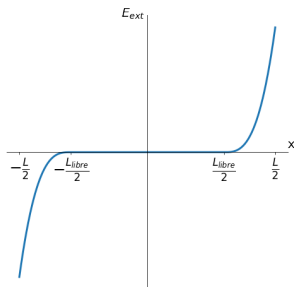


Figure – Champ confinant

- ▶ $K = 35$ (grand).

- ▶ nouvelle technique basée sur des réseaux de neurones = fonction paramétrique :
 - ▶ succession de couches, la sortie d'une est l'entrée de la suivante,
 - ▶ couche : entrée z , sortie $\sigma(Wz + b)$ avec W, b poids et biais, σ une non-linéarité,
 - ▶ ensemble des $W, b \rightarrow$ paramètres θ du réseau,
 - ▶ θ ajusté sur des données pour minimiser un coût ou loss \mathcal{L} ,
- ▶ \rightarrow auto-encodeur (AE) !

Réduction par auto-encodeur

- ▶ représentation de l'identité par un code intermédiaire de petite dimension,
- ▶ encodeur $\mathcal{F}_\theta(u) = \bar{u}$, décodeur $\mathcal{G}_\theta(\bar{u}) = u$,
- ▶ architecture optimisée au problème,

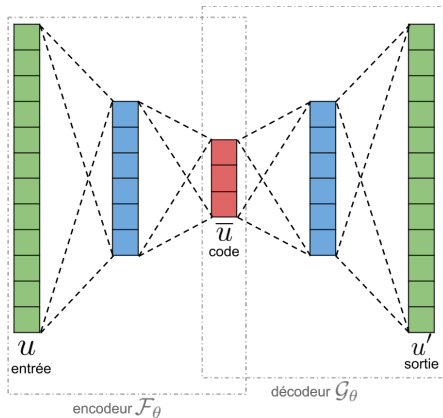


Figure – Auto-encodeur

Réduction par auto-encodeur

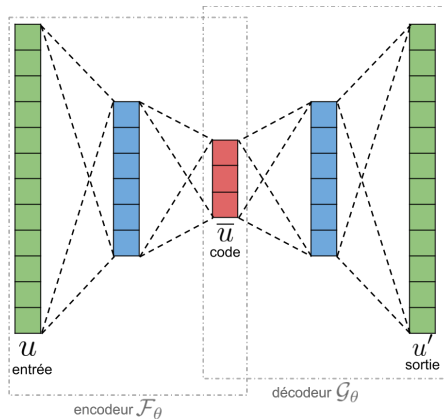


Figure – Auto-encodeur

- ▶ entraînement : $\mathcal{L}_{AE} = \|u - (\mathcal{G}_\theta \circ \mathcal{F}_\theta)(u)\|_2$,
- ▶ apprentissage non supervisé,
- ▶ hypothèse : \bar{u} suit une dynamique symplectique,
- ▶ MAIS ne fournit pas le modèle réduit.

Réduction du modèle de Vlasov-Poisson guidée par les données

Guillaume Steimer

Modéliser un plasma

Le plasma

Équation de Vlasov-Poisson et discrétisation

Génération des données par algorithme PIC

Notions de mécanique Hamiltonienne

Algorithme PIC

Réduction du modèle

Limite des méthodes classiques

Réduction par apprentissage d'un auto-encodeur

Modélisation de la dynamique réduite

Résultats

Conclusion

Références

- ▶ apprentissage du modèle réduit par réseau de neurones hamiltonien (HNN) [2],
- ▶ apprend l'hamiltonien réduit $\mathcal{H}_\theta(\bar{u}) = \mathcal{H}_\theta^1(\bar{x}) + \mathcal{H}_\theta^2(\bar{v})$,
- ▶ entrée \bar{u} (encodeur), sortie $\dot{\bar{u}}$ (par différences finies),
- ▶ loss :

$$\mathcal{L}_{HNN} = \left\| \nabla_{\bar{v}} \mathcal{H}_\theta^2(\bar{v}(t)) - \frac{\bar{x}(t + \Delta t) - \bar{x}(t - \Delta t)}{2\Delta t} \right\|_2 + \left\| \nabla_{\bar{x}} \mathcal{H}_\theta^1(\bar{x}(t)) + \frac{\bar{v}(t + \Delta t) - \bar{v}(t - \Delta t)}{2\Delta t} \right\|_2$$

- ▶ modèle réduit symplectique : stabilité,
- ▶ calcul de la dynamique avec formulation symplectique et schéma de Verlet.

- ▶ $N = 1000, K = 7$ (ratio ~ 140),
- ▶ conditions initiales : distribution normal en vitesse et bêta $\mathcal{B}(\alpha, \beta)$ en position, $\beta = 1.5$ fixe,
- ▶ paramètre de réduction : $\alpha \in \{2.2, 2.6, 3.0, 3.4, 3.8\}$,
- ▶ trajectoire d'une particule :

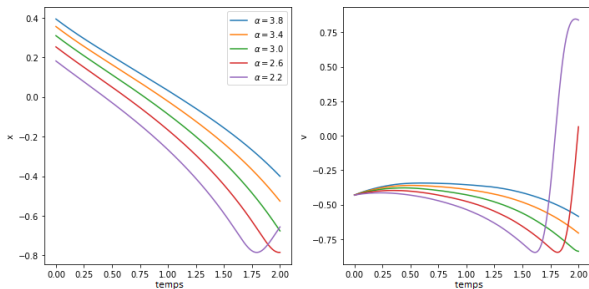
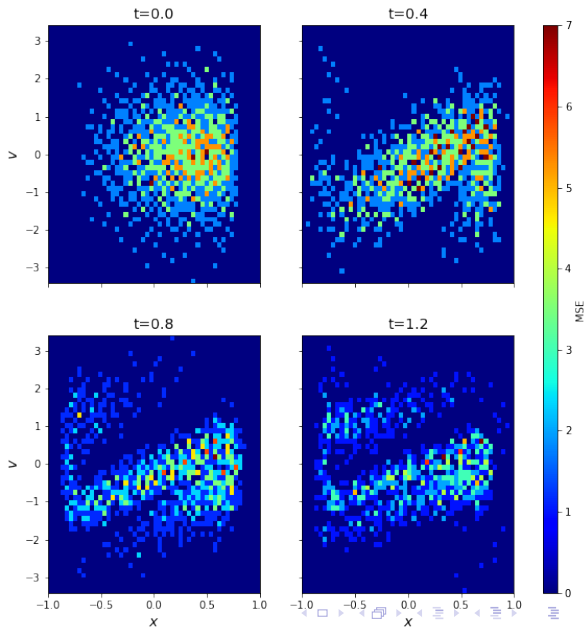


Figure – position (gauche) et vitesse (droite) en fonction du temps

Résultats

► évolution de f :



Réduction du
modèle de
Vlasov-Poisson
guidée par les
données

Guillaume Steimer

Modéliser un
plasma

Le plasma
Équation de
Vlasov-Poisson et
discretisation

Génération des
données par
algorithme PIC

Notions de mécanique
Hamiltonienne
Algorithme PIC

Réduction du
modèle

Limite des méthodes
classiques
Réduction par
apprentissage d'un
auto-encodeur

Modélisation de la
dynamique réduite

Résultats

Conclusion

Références

- ▶ processus 25 fois plus rapide,
- ▶ quelques erreurs en fonction du temps :

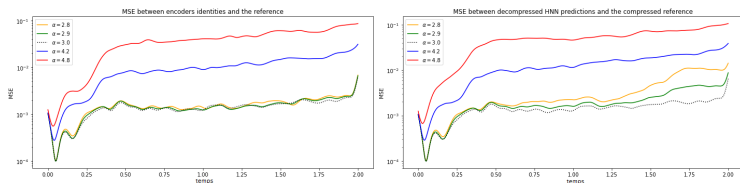


Figure – MSE en fonction du temps pour l'identité de l'AE et la prédiction du HNN

► erreur en fonction de α :

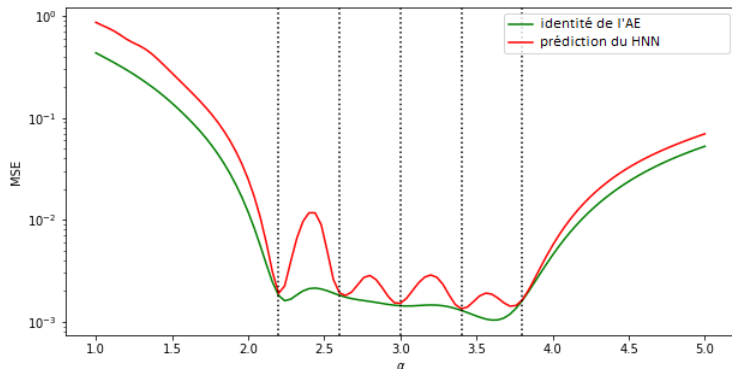


Figure – MSE en fonction du temps pour l'identité de l'AE et la prédiction du HNN

Modéliser un plasma

Le plasma
Équation de Vlasov-Poisson et discrétisation

Génération des données par algorithme PIC

Notions de mécanique Hamiltonienne
Algorithme PIC

Réduction du modèle

Limite des méthodes classiques
Réduction par apprentissage d'un auto-encodeur





Modélisation de la dynamique réduite

Résultats

Conclusion

Références

- ▶ atouts : processus efficace, accélération par rapport à PIC, grand ratio de réduction (jusqu'à 700), stable en temps long, scalabilité, paramétrisation,
- ▶ faiblesses : construction AE, permutations des particules, domaine périodique,
- ▶ ouvertures : passage en 3D avec champ magnétique, dans un tokamak, autre modèle cinétique...

-  Régine Barthelmé. « Le problème de conservation de la charge dans le couplage des équations de Vlasov et de Maxwell. ». Thèse. 7, rue René Descartes 67084 Strasbourg Cedex (FRANCE) : Université Louis Pasteur et CNRS (UMR 7501), 2005.
-  Sam Greydanus, Misko Dzamba et Jason Yosinski. *Hamiltonian Neural Networks*. <https://greydanus.github.io/2019/05/15/hamiltonian-nns/>.
-  Eric Sonnendrücker. *Numerical Methods for the Vlasov-Maxwell equations*. Springer, 2015.
-  Tomasz M. Tyranowski et Michael Kraus. « Symplectic model reduction methods for the Vlasov equation ». In : (2019). arXiv : 1910.06026 [physics.comp-ph].

ANNEXE : Algorithme PIC : illustration

- ▶ avec un double faisceau perturbé d'électrons, $N = 400\,000$,
 $M = 1\,000$, $q/m = -1$,
- ▶ calcul du potentiel :

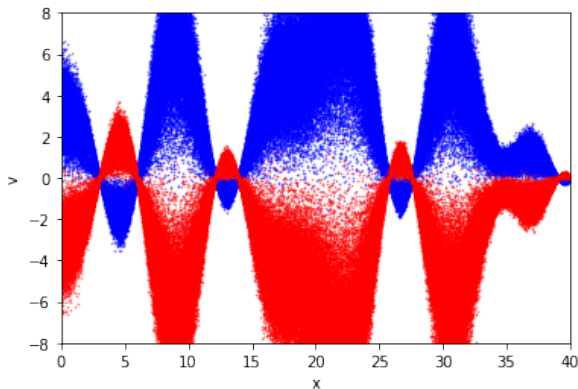


Figure – à $t = 0$

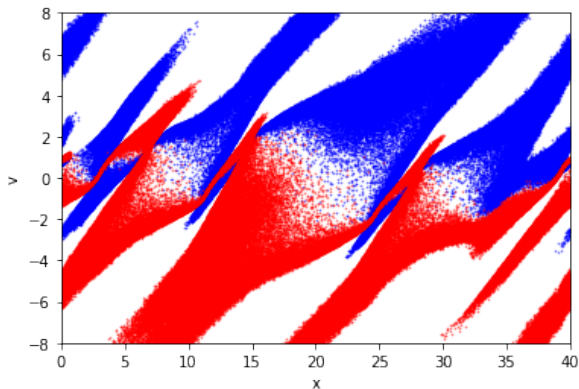


Figure – à $t = 1.5$

Modéliser un plasma

Le plasma
Équation de
Vlasov-Poisson et
discretisation

Génération des données par algorithme PIC

Notions de mécanique
Hamiltonienne
Algorithme PIC

Réduction du modèle

Limite des méthodes
classiques
Réduction par
apprentissage d'un
auto-encodeur

Modélisation de la dynamique réduite

Résultats

Conclusion

Références

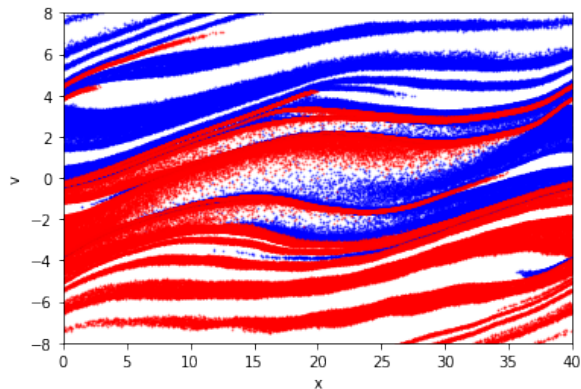


Figure – à $t = 8$

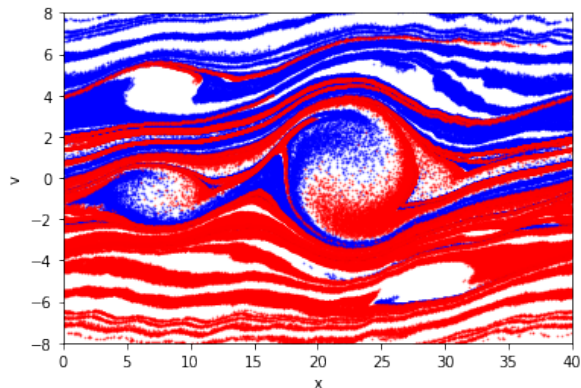


Figure – à $t = 17.5$